

Свойства массивного нейтрино в условиях замагниченной плазмы

А. А. Добрынина

ЯрГУ им. П. Г. Демидова

Дубна, ОИЯИ
17 июня 2016 г.

Список статей, в которых изложены основные результаты диссертации

- A. A. Dobrynina, N. V. Mikheev, and G. G. Raffelt. Radiative decay of keV-mass sterile neutrinos in a strongly magnetized plasma // Phys. Rev. D 2014. V. 90, No. 11. P. 113015.
- A. A. Dobrynina, N. V. Mikheev, and E. N. Narynskaya. Vertex function of virtual neutrino at small momentum transferred // Int. J. Mod. Phys. A 2012. V. 27, No. 28. P. 1250167.
- А. А. Добрынина, Н. В. Михеев. Собственно-энергетический оператор массивного нейтрино во внешнем магнитном поле // ЖЭТФ 2014. т. 145, №1, с. 65.
- А. А. Добрынина, Н. В. Михеев, Е. Н. Нарынская. Электромагнитные свойства массивного нейтрино // Ядерная физика 2013. т. 76, №10, с. 1311.
- А. А. Добрынина, Н. В. Михеев, Е. Н. Нарынская. Массовый оператор нейтрино и его магнитный момент // Ядерная физика 2013. т. 76, №11, с. 1417.

План

- ① Радиационный распад стерильного нейтрино в сильно замагниченной плазме
 - Электронная плазма без магнитного поля
 - Сильно замагниченная плазма
- ② Вершинная функция виртуального нейтрино при малом переданном импульсе
 - Собственно-энергетический оператор виртуального нейтрино в линейном по полю приближении в R_ξ -калибровке
 - Электромагнитные свойства массивного нейтрино
- ③ Собственно-энергетический оператор массивного нейтрино во внешнем магнитном поле
 - Собственно-энергетический оператор массивного нейтрино в магнитном поле
 - Дополнительная энергия нейтрино в магнитном поле
 - Распад массивного нейтрино на W -бозон и заряж. лептон

Радиационный распад стерильного нейтрино
в сильно замагниченной плазме

A. A. Dobrynina, N. V. Mikheev, and G. G. Raffelt
Phys. Rev. 2014. V. D90. No. 11. P. 113015.

- Электронная плазма, находящаяся в сильном магнитном поле (сильно замагниченная плазма) \Rightarrow электроны на основном уровне Ландау
- Условие на хим. потенциал μ_e электронов

$$\mu_e^2 - m_e^2 < 2eB$$

m_e — масса электрона, e — элементарный заряд, B — напряженность магнитного поля

- Сильное магнитное поле и вырожденная плазма $\mu_e - m_e \gg T$, где T — температура плазмы \Rightarrow фотон — частица с эффективной массой Ω_0
[Н. Pérez Rojas and A. E. Shabad, Ann. Phys. (1979), Ann. Phys. (1982)]

$$\Omega_0^2 = \frac{2\alpha}{\pi} eB \frac{p_F}{\sqrt{p_F^2 + m_e^2}}$$

α — постоянная тонкой структуры, p_F — импульс Ферми

Плазменная частота

- Концентрация электронов в случае сильного магнитного поля:

$$n_e = \frac{eV_F}{2\pi^2} \Rightarrow \rho_F = 2\pi^2 \frac{n_e}{eV}$$

- Для плазменной частоты Ω_0 получаем:

$$\Omega_0 \simeq 37.1 \text{ кэВ} \left[\frac{n_{30}^2 b^2}{b^2 + 1.3 n_{30}^2} \right]^{1/4}$$

- $b = V/V_e$, $n_{30} = n_e / (10^{30} \text{ см}^{-3})$,
- критическое магнитное поле электрона

$$V_e = \frac{m_e^2}{e} = 4.41 \times 10^{13} \text{ Гс}$$

- В качестве нормировки выбрана концентрация $n = 10^{30} \text{ см}^{-3}$, которая соответствует плотности вещества $\rho \simeq 10^6 \text{ г/см}^3$
- Вырожденные электроны остаются нерелятивистскими $V_F \ll 1$

Нейтрино

- Стандартные нейтрино с массой $m_\nu \lesssim 1$ эВ

$\Omega_0 \gg m_\nu \Rightarrow$ распад $\nu_i \rightarrow \nu_j \gamma$ закрыт

- Стерильное нейтрино с кэВ-ной массой m_s
[M. Drewes et al., arXiv:1602.04816]

Ограничение из космологии:

$$0.4 \text{ кэВ} < m_s < 50 \text{ кэВ}$$

[A. Boyarsky et al., Ann. Rev. Nucl. Part. Sci. (2009);
M. Laine and M. Shaposhnikov, JCAP (2008)]

- Существует область значений n_e и B , где $\Omega_0 < m_s \Rightarrow$

распад нейтрино возможен

Ограничение на массу стерильного нейтрино

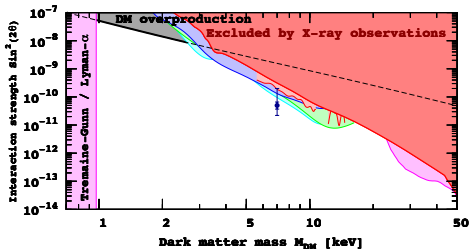
- Ограничение Тремейна-Ганна (ограничение из фазовой плотности) [S. Tremaine and J. E. Gunn, Phys. Rev. Lett. (1979)]

$$m_s \gtrsim 0.4 \text{ кэВ}$$

- Анализ рентгеновских спектров [M. Laine and M. Shaposhnikov, JCAP (2008)]

$$m_s \lesssim 50 \text{ кэВ}$$

- Попытки найти рентгеновскую линию от радиационного распада частицы темной материи — безрезультатны
- Верхний предел на угол смешивания стерильного нейтрино как функции массы нейтрино [M. Drewes, arxiv:1602.04816]



Смешивание

- Стерильное нейтрино смешивается с активным \Rightarrow взаимодействует с веществом
- Массовые состояния нейтрино

$$|\nu_1\rangle = \cos\theta_s |\nu_a\rangle - \sin\theta_s |\nu_s\rangle$$

$$|\nu_2\rangle = \sin\theta_s |\nu_a\rangle + \cos\theta_s |\nu_s\rangle$$

θ_s — угол смешивания активного и стерильного нейтрино

- Угол смешивания θ_s мал

$$|\nu_1\rangle \simeq |\nu_a\rangle, \quad |\nu_2\rangle \simeq |\nu_s\rangle$$

- Ограничение на θ_s : возможные распады темной материи
- Из нейтринного распада $\nu_s \rightarrow 3\nu_a$
[A. D. Dolgov and S. H. Hansen, *Astropart. Phys.* (2002)]

$$\theta_s^2 < 1.1 \times 10^{-7} \left(\frac{50 \text{ кэВ}}{m_s} \right)^5$$

- Более строгое из радиационного распада $\nu_s \rightarrow \nu_a \gamma$
[A. Boyarsky et al., *Ann. Rev. Nucl. Part. Sci.* 59 (2009)]

$$\theta_s^2 \lesssim 1.8 \times 10^{-5} \left(\frac{1 \text{ кэВ}}{m_s} \right)^5$$

- В магнитном поле или плазме активное нейтрино может взаимодействовать с фотоном через реальные электроны плазмы

$$\mathcal{L}_{\text{eff}} = -\frac{G_F}{\sqrt{2}} [\bar{\Psi}_e \gamma^\alpha (C_V + C_A \gamma_5) \Psi_e] j_\alpha$$

- Векторная и аксиальная константы

$$C_V = \pm 1/2 + 2 \sin^2 \theta_W, \quad C_A = \pm 1/2$$

θ_W — угол Вайнберга ($\sin^2 \theta_W \simeq 0.23$)

- Нейтринный ток, описывающий переход стерильного нейтрино в активное:

$$j_\alpha = j_\alpha^{(s \rightarrow a)} = \cos \theta_s \sin \theta_s [\bar{\nu}_a \gamma_\alpha (1 + \gamma_5) \nu_s]$$

- Рассматривается активное нейтрино фиксированного аромата — электронное нейтрино
- Изменением законов дисперсии активного и стерильного нейтрино пренебрегается

Электронная плазма в отсутствии магнитного поля

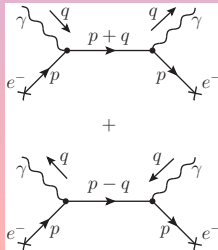
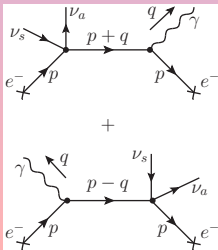
- Лагранжиан взаимодействия

$$\mathcal{L}_{\text{eff}} = -\frac{G_F}{\sqrt{2}} \left[C_V (\bar{\Psi}_e \gamma^\alpha \Psi_e) j_\alpha^{(s \rightarrow a)} + C_A (\bar{\Psi}_e \gamma^\alpha \gamma_5 \Psi_e) j_\alpha^{(s \rightarrow a)} \right]$$

- Векторная часть \mathcal{L}_{eff} имеет структуру, сходную со структурой, описывающей взаимодействие фотона с электроном

$$\mathcal{L}_{\text{EM}} = e (\bar{\Psi}_e \gamma_\alpha \Psi_e) A^\alpha$$

- Распад $\nu_s \rightarrow \nu_a + \gamma$ на электронах плазмы можно изобразить диаграммами Фейнмана, которые аналогичны диаграммам комптоновского рассеяния фотонов $\gamma \rightarrow \gamma$ с заменой одной из линий фотона на нейтринный ток



- Поляризационный оператор фотона $\Pi_{\alpha\beta}$ определяется через амплитуду процесса $\gamma \rightarrow \gamma$

$$M_{\gamma \rightarrow \gamma} = -\varepsilon_{\alpha}^* \Pi^{\alpha\beta} \varepsilon_{\beta}$$

- Векторная часть амплитуды распада $\nu_s \rightarrow \nu_a + \gamma$

$$M_{\text{pl}}^V = \frac{C_V G_F}{e\sqrt{2}} (j\Pi\varepsilon^*)$$

- Аксиально-векторный вклад в амплитуду пренебрежимо мал
 - нерелятивистской плазме

$$\frac{M^A}{M^V} \sim \frac{C_A}{C_V} \frac{m_s}{m_e} \ll 1$$

- релятивистской плазме

$$\frac{M^A}{M^V} \sim \frac{C_A}{C_V} \frac{m_s}{\mu_e} \ll 1$$

- Кинематические условия для $\nu_s \rightarrow \nu_a \gamma$

$$\omega_0 < m_s \ll m_e$$

- Нерелятивистская плазма

$$\omega_0^2 = \frac{4\pi\alpha n_e}{m_e}$$

- Для вырожденных электронов $n_e = p_F^3/3\pi^2$
- Из кинематики процесса следует ограничение на скорость Ферми

$$V_F^2 < 0.25 \left(\frac{m_s}{10 \text{ кэВ}} \right)^{4/3}$$

- Верхний предел на m_s , при котором приближение нерелятивистской плазмы выполняется

$$V_F^2 \ll 1 \Rightarrow m_s \ll 30 \text{ кэВ}$$

- В плазме у фотона три поляризационных состояния
- Одна продольная мода ε_α^ℓ и две поперечные моды ε_α^t , где $t = 1, 2$
- Собственные значения поляризационного оператора Π_λ ($\lambda = \ell, t$)

$$\Pi_{\alpha\beta} \varepsilon_\beta^\lambda = \Pi_\lambda \varepsilon_\alpha^\lambda$$

- В нерелятивистской плазме [4-импульс фотона $q^\mu = (\omega, \vec{k})$]
[G. Raffelt, Stars as Laboratories for Fundamental Physics (1996)]:

$$\Pi_t \approx \omega_0^2, \quad \Pi_\ell \approx \omega_0^2 \left(1 - \frac{k^2}{\omega^2}\right)$$

- Закон дисперсии фотона

$$q^2 = \omega^2 - k^2 = \Pi_\lambda$$

- Вероятность распада $\nu_s \rightarrow \nu_a + \gamma$ в нерелятивистской плазме

$$W_{\text{pl}}^t = W_{\text{vac}} \frac{16\pi^2}{9\alpha^2} x_0^4 (1 - x_0^2)^2$$

$$W_{\text{pl}}^\ell = W_{\text{vac}} \frac{32\pi^2}{9\alpha^2} x_0 (1 - x_0)^2$$

- Здесь $x_0 = \omega_0/m_s$
- Нормирована на вакуумную вероятность

$$W_{\text{vac}} = \frac{9\alpha G_F^2}{2048\pi^4} m_s^5 \sin^2(2\theta_s)$$

- Время жизни составляет

$$\tau_{\text{vac}} = 1.2 \times 10^{37} \text{ лет} \left(\frac{10 \text{ кэВ}}{m_s} \right)^5 \left(\frac{10^{-11}}{\theta_s} \right)^2$$

- Время жизни Вселенной

$$\tau_{\text{Univ}} = 1.37 \times 10^{10} \text{ лет}$$

Сильно замагниченная плазма

- Магнитное поле направлено вдоль третьей оси $\vec{B} = (0, 0, B)$
- Условия на параметры плазмы

$$2eB > \mu_e^2 - m_e^2 \gg T^2$$

- Электроны находятся на основном уровне Ландау
- Квантовое поле электрона Ψ_e является собственной функцией проекционного оператора

$$\Pi_- \Psi_e = \Psi_e, \quad \Pi_{\pm} = \frac{1}{2} (1 \pm i\gamma_1\gamma_2)$$

- Аксиально-векторный ток можно представить в виде:

$$\bar{\Psi}_e \gamma_{\alpha} \gamma_5 \Psi_e = \bar{\Psi}_e \Pi_- \gamma_{\alpha} \gamma_5 \Pi_- \Psi_e$$

- Свойства проекционных операторов

$$\Pi_{\pm}^2 = \Pi_{\pm}, \quad \Pi_+ \Pi_- = 0, \quad \Pi_{\pm} \gamma_5 \Pi_{\pm} = \gamma_5 \Pi_{\pm}, \quad \Pi_{\mp} \gamma_5 \Pi_{\pm} = 0$$

$$\Pi_{\pm} \gamma_{0,3} \Pi_{\pm} = \gamma_{0,3} \Pi_{\pm}, \quad \Pi_{\mp} \gamma_{0,3} \Pi_{\pm} = 0$$

$$\Pi_{\mp} \gamma_{1,2} \Pi_{\pm} = \gamma_{1,2} \Pi_{\pm}, \quad \Pi_{\pm} \gamma_{1,2} \Pi_{\pm} = 0$$

- Удобно воспользоваться ковариантным формализмом

Используемые обозначения

- Магнитное поле направлено вдоль третьей оси $\vec{B} = (0, 0, B)$
- Безразмерные тензор ЭМ поля и дуальный к нему тензор

$$\varphi_{\alpha\beta} = \frac{F_{\alpha\beta}}{B}, \quad \tilde{\varphi}_{\alpha\beta} = \frac{1}{2} \varepsilon_{\alpha\beta\rho\sigma} \varphi^{\rho\sigma}$$

- Пространство Минковского с внешним магнитным полем разбивается на два подпространства:
 - евклидово подпр-во с метр. тензором $\Lambda_{\mu\nu} = (\varphi\varphi)_{\mu\nu}$
 - псевдоевклидово подпр-во с метр. тензором $\tilde{\Lambda}_{\mu\nu} = (\tilde{\varphi}\tilde{\varphi})_{\mu\nu}$
 - $\tilde{\Lambda}_{\mu\nu} - \Lambda_{\mu\nu} = g_{\mu\nu}$
- 4-вектор $a^\mu = (a_0, a_1, a_2, a_3)$ разбивается на две ортогональные составляющие:

$$a_\mu = \tilde{\Lambda}_{\mu\nu} a^\nu - \Lambda_{\mu\nu} a^\nu = a_{\parallel\mu} - a_{\perp\mu}$$

- Для скалярного произведения векторов справедливо:

$$(ab) = (ab)_{\parallel} - (ab)_{\perp}$$

$$(ab)_{\parallel} = (a\tilde{\Lambda}b) = a^\mu \tilde{\Lambda}_{\mu\nu} b^\nu = a_0 b_0 - a_3 b_3$$

$$(ab)_{\perp} = (a\Lambda b) = a^\mu \Lambda_{\mu\nu} b^\nu = a_1 b_1 + a_2 b_2$$

- Лагранжиан взаимодействия электронов с нейтрино

$$\mathcal{L}_{\text{eff}} = -\frac{G_F}{\sqrt{2}} [C_V (\bar{\Psi}_e \gamma^\alpha \Psi_e) j_\alpha + C_A (\bar{\Psi}_e \gamma^\alpha \gamma_5 \Psi_e) j_\alpha] \Rightarrow$$

- Аксиально-векторный ток

$$\bar{\Psi}_e \gamma^\alpha \gamma_5 \Psi_e = \bar{\Psi}_e \Pi_- \gamma^\alpha \gamma_5 \Pi_- \Psi_e = \bar{\Psi}_e (\tilde{\varphi} \gamma)_\alpha \Psi_e$$

- Лагранжиан сводится к виду:

$$\mathcal{L}_{\text{eff}} = e (\bar{\Psi}_e \gamma^\alpha \Psi_e) V_\alpha$$

- По форме совпадает с $\mathcal{L}_{\text{EM}} = e (\bar{\Psi}_e \gamma^\alpha \Psi_e) A_\alpha$
- Фотон заменяется на векторный оператор:

$$V_\alpha = -\frac{G_F}{e\sqrt{2}} [C_V (\tilde{\mathcal{N}}j)_\alpha - C_A (\tilde{\varphi}j)_\alpha]$$

- Амплитуда распада $\nu_s \rightarrow \nu_a + \gamma$

$$M_{\text{pl+f}} = -\mathcal{E}_\alpha^* \Pi^{\alpha\beta} V_\beta$$

- В сильно замагниченной плазме физическими являются только две моды фотона со следующими векторами поляризации [Д. А. Румянцев и М. В. Чистяков, ЖЭТФ (2008)]

$$\mathcal{E}_\alpha^{(1)} \approx \frac{(q\varphi)_\alpha}{\sqrt{q_\perp^2}}, \quad \mathcal{E}_\alpha^{(2)} \approx \frac{(q\tilde{\varphi})_\alpha}{\sqrt{q_\parallel^2}}$$

- Собственные значения Π_1 и Π_2 поляризационного оператора для этих мод при $\omega \lesssim m_s \ll m_e$

$$\Pi_1 \approx -\frac{2\alpha}{\pi} \frac{\omega V_F \mu_e \sqrt{q^2}}{\sqrt{q_\parallel^2}}, \quad \Pi_2 \approx \frac{2eB\alpha}{\pi} \frac{q_\parallel^2 V_F}{\omega^2 - V_F^2 k_3^2}$$

- Вклад от Π_2 в амплитуду распада стерильного нейтрино доминирует

$$\left| \frac{\Pi_1}{\Pi_2} \right| \lesssim \frac{m_s}{\mu_e} \ll 1$$

В основном рождаются фотоны моды 2

- Амплитуда радиационного распада стерильного нейтрино в сильно замагниченной плазме

$$M_{\text{pl+f}} = \frac{G_F \Omega_0^2}{e\sqrt{2}} \sqrt{q_{\parallel}^2} \frac{C_V (q\tilde{\varphi}j) + C_A (q\tilde{\Lambda}j)}{\omega^2 - V_F^2 k_3^2}$$

- Плазменная частота фотона

$$\Omega_0^2 = \frac{2\alpha eB}{\pi} V_F$$

- Согласно кинематике процесса $\Omega_0 < m_s$

$$V_F^2 < 0.01 \left(\frac{B_e}{B} \right)^2 \left(\frac{m_s}{10 \text{ кэВ}} \right)^4$$

- Распад стерильного нейтрино с массой 2–20 кэВ в сильно замагниченной плазме возможен в условиях нерелятивистской среды

- Вероятность распада $\nu_s \rightarrow \nu_a + \gamma$

$$W_{\text{pl+f}} = \frac{1}{32\pi^2 m_s} \int \frac{d^3 p_a}{E_a} \frac{d^3 k}{\omega} \delta^{(4)}(p_s - p_a - q) |M_{\text{pl+f}}|^2$$

- Система покоя распадающегося нейтрино $p_s^\mu = (m_s, \vec{0})$, $p_a^\mu = (E_a, \vec{p}_a)$
- Закон дисперсии фотона в замагниченной плазме

$$q^2 = \Pi_2 \quad \Rightarrow \quad \omega^2 = k_3^2 + k_\perp^2 + \Omega_0^2 \frac{\omega^2 - k_3^2}{\omega^2 - V_F^2 k_3^2}$$

Нерелятивистская плазма

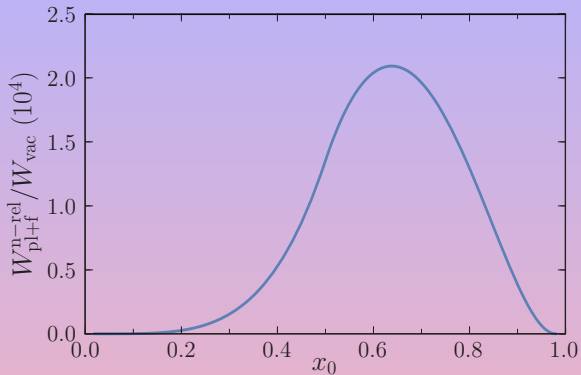
- Реализуется при $m_s = 2 - 20$ кэВ и $B = 1 - 100 B_e$

$$W_{\text{pl+f}}^{\text{n-rel}} = W_{\text{vac}} \frac{32 \pi^2}{2835 \alpha^2} (C_V^2 + C_A^2) [\theta(2x_0 - 1) \times \\ \times \left(-\frac{11}{x_0} + 129x_0 - 210x_0^2 + 168x_0^3 - 84x_0^4 - 24x_0^6 + 32x_0^8 \right) \\ + \theta(1 - 2x_0) 4x_0^4 (21 + 6x_0^2 - 8x_0^4)]$$

- Безразмерная частота плазмона $x_0 = \Omega_0/m_s$
- При $x_0 \ll 1$ и $C_V = C_A = 1$

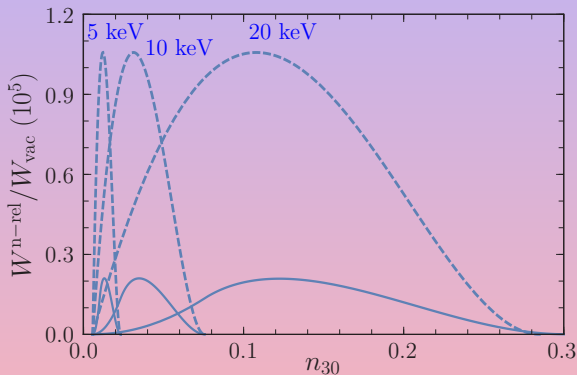
$$\left. \frac{W_{\text{pl+f}}^{\text{n-rel}}}{W_{\text{vac}}} \right|_{x_0 \ll 1} = \frac{256 \pi^2}{135 \alpha^2} x_0^4$$

[A. I. Ternov and P. A. Eminov, Phys. Rev. D87 (2013)]



Вероятность радиационного распада стерильного нейтрино в нерелятивистской сильно замагниченной плазме как функция относительной плазменной частоты $x_0 = \Omega_0/m_s$.

Вероятность радиационного распада стерильного нейтрино для фиксируемых значений массы как функция концентрации электронов плазмы $n_{30} = n_e / (10^{30} \text{ см}^{-3})$:



Штриховые линии: электронная плазма без магнитного поля.

Сплошные линии: сильно замагниченная плазма $B = B_e = 4.41 \times 10^{13} \text{ Гс}$.

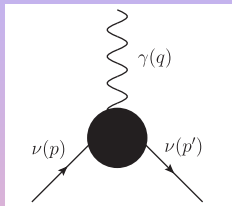
Выводы

- Рассмотрен распад $\nu_s \rightarrow \nu_a + \gamma$ для кэВ-ных значений масс стерильного нейтрино в условиях электронной плазмы без магнитного поля и в сильно замагниченной плазме
- Учитывается изменение дисперсии фотона в замагниченной плазме
- Показано, что в сильно замагниченной плазме аксиально-векторный ток дает вклад в амплитуду процесса, как и векторный ток
- Вероятность радиационного распада стерильного нейтрино в плазме без магнитного поля в 10^5 раз превышает вероятность распада в вакууме
- Сильное магнитного поля ослабляет катализирующее действие плазмы в разы

Вершинная функция виртуального нейтрино
при малом переданном импульсе

A. A. Dobrynina, N. V. Mikheev, and E. N. Narynskaya
IJMPA, 2012, Vol. 27, No. 28, P. 1250167

- Форм-факторы вершинной функции $\Lambda_\alpha \Rightarrow$ электромагнитные характеристики μ_ν, d_ν, \dots



Общий случай: нейтрино и фотон вне массовой поверхности
Особые случаи

- Реальные нейтрино и виртуальный фотон
 - B. W. Lee and R. E. Shrock, Phys. Rev. D (1977)
 - L. G. Cabral-Rosetti et al, Eur. Phys. J. C (2000)
 - M. Dvornikov and A. Studenikin, Phys. Rev. D (2004)
- Виртуальные нейтрино и реальный фотон

- Магнитное поле постоянное и однородное
- Магнитное поле считаем слабым на масштабе массы W -бозона:

$$eB \ll m_W^2 \quad (B \ll B_W = e/m_W^2)$$

- Пренебрегаем CP -нарушением в лептонном секторе
- Получаем выражение для Λ_β на основе вычисления $\Sigma(p)$

- Собственно-энергетический оператор

$$M_{\nu \rightarrow \nu} = -\bar{U}(p) \Sigma_B(p) U(p)$$

- В дополнение к W -бозону учитываем заряженный скалярный бозон Φ (R_ξ -калибровка)



- Лагранжиан взаимодействия фермионов и заряженных бозонов

$$\mathcal{L} = \frac{g}{2\sqrt{2}} (\bar{\psi}_\ell \gamma_\alpha (1 + \gamma_5) \psi_\nu) W_\alpha + \frac{g}{2\sqrt{2}} (\bar{\psi}_\nu \gamma_\alpha (1 + \gamma_5) \psi_\ell) W_\alpha^* - \frac{g}{\sqrt{2} m_W} [(\bar{\psi}_\nu K \psi_\ell) \Phi^* + (\bar{\psi}_\ell \bar{K} \psi_\nu) \Phi]$$

- Здесь $K = m_\ell R - m_\nu L$, $\bar{K} = \gamma_0 K^+ \gamma_0$, $L, R = (1 \pm \gamma_5)/2$
- Собственно-энергетический оператор нейтрино

$$\Sigma_B(p) = -\frac{ig^2}{2} \int \frac{d^4 k}{(2\pi)^4} \left[(\gamma_\alpha L S(Q) \gamma_\beta L) G_{\beta\alpha}^W(k) + \frac{1}{m_W^2} (K S(Q) \bar{K}) D^\Phi(k) \right]$$

- k_μ — 4-импульс виртуального бозона
- $Q_\mu = p_\mu + k_\mu$ — 4-импульс виртуального лептона

- Пропагаторы лептона ℓ , W - и Φ -бозонов в **линейном по полю приближении** в R_ξ -калибровке

$$D^\Phi(k) = \frac{i}{k^2 - \xi m_W^2} + \mathcal{O}(F^2)$$

$$S(Q) = i \frac{\hat{Q} + m_\ell}{Q^2 - m_\ell^2} - \frac{2e(Q\tilde{F}\gamma)\gamma_5 + iem_\ell(\gamma F\gamma)}{2(Q^2 - m_\ell^2)^2} + \mathcal{O}(F^2)$$

$$G_{\beta\alpha}^W(k) = -\frac{i g_{\alpha\beta}}{k^2 - m_W^2} + \frac{i}{m_W^2} \left(\frac{1}{k^2 - m_W^2} - \frac{1}{k^2 - \xi m_W^2} \right) k_\beta k_\alpha -$$

$$-\frac{2eF_{\beta\alpha}}{(k^2 - m_W^2)^2} - \frac{eF_{\beta\alpha}}{2m_W^2} \left(\frac{1}{k^2 - m_W^2} - \frac{1}{k^2 - \xi m_W^2} \right) -$$

$$-\frac{e}{m_W^2} \left(\frac{1}{(k^2 - m_W^2)^2} - \frac{1}{(k^2 - \xi m_W^2)^2} \right) [(Fk)_\beta k_\alpha - k_\beta (Fk)_\alpha] + \mathcal{O}(F^2)$$

- $\Sigma(p)$ для виртуального нейтрино

$$\Sigma_B(p) = \Sigma_0(p) + \frac{i}{4} (\hat{p} - m_\nu) (\gamma F \gamma) \{f_1(p^2) + f_2(p^2) \gamma_5\} + \\ + \frac{im_\nu}{4} (\gamma F \gamma) f_3(p^2) + \frac{i}{4} (\gamma F \gamma) \{f_1(p^2) - f_2(p^2) \gamma_5\} (\hat{p} - m_\nu)$$

Σ_0 — не зависящая от внешнего поля часть массового оператора,
 $F_{\alpha\beta}$ — тензор внешнего ЭМ поля

- Функции $f_1(p^2)$, $f_2(p^2)$ и $f_3(p^2)$ можно представить в виде однократных интегралов
- Собственно-энергетический оператор можно представить в виде разложения по полю $F_{\alpha\beta}$

$$\Sigma_B(p) = \Sigma_0 + \frac{\partial \Sigma(p)}{\partial F_{\alpha\beta}} F_{\alpha\beta} + \dots$$

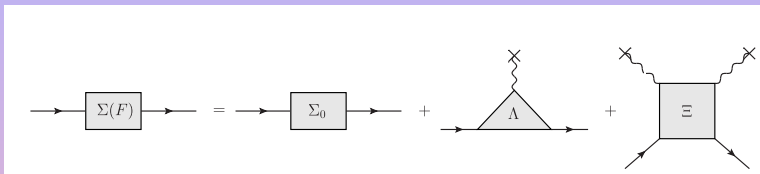
- При рассмотрении медленно изменяющегося поля

$$F_{\alpha\beta} \Rightarrow -i(q_\alpha \varepsilon_\beta - q_\beta \varepsilon_\alpha)$$

$$\Sigma_B(p) = \Sigma_0(p) + \Lambda_\beta \varepsilon^\beta + \dots$$

Λ_β — вершинная функция виртуального нейтрино,
 ε_α — 4-вектор поляризации фотона.

- Связь между собственно-энергетическим оператором $\Sigma(p)$ и вершинной функцией:



- Вершинная функция виртуального нейтрино в пределе относительно малого переданного импульса $q_\mu \ll m_W$

$$\Lambda_\beta = -\frac{m_\nu}{2} f_3(p^2) (\sigma q)_\beta - \frac{1}{2} (\hat{p} - m_\nu) (\sigma q)_\beta \left[f_1(p^2) + f_2(p^2) \gamma_5 \right] - \frac{1}{2} (\sigma q)_\beta \left[f_1(p^2) - f_2(p^2) \gamma_5 \right] (\hat{p} - m_\nu)$$

- $f_1(p^2)$, $f_2(p^2)$ и $f_3(p^2)$ зависят от калибровочного параметра ξ
- Это же относится к $\Sigma(p)$ и Λ_β

- Рассмотрим случай реального нейтрино $p^2 = m_\nu^2$, $\hat{p} = m_\nu$
- Вершинная функция приводится к виду

$$\Lambda_\beta = 0 \cdot \gamma_\mu + 0 \cdot i\sigma_{\mu\nu} q^\nu \gamma_5 - \frac{m_\nu f_3(m_\nu^2)}{2} (\sigma q)_\beta + \mathcal{O}\left(\frac{q^2}{m_W^2}\right)$$

Отсутствует зависимость от параметра ξ !

- Общее выражение для вершинной функции в пределе малого переданного импульса q_μ

$$\Lambda_\mu = F_Q(0) \gamma_\mu + iF_E(0)(\sigma q)_\mu \gamma_5 - F_M(0) (\sigma q)_\mu + \mathcal{O}\left(\frac{q^2}{m_W^2}\right)$$

- Сравнение показывает:
 - электрический заряд $F_Q(0) = Q_\nu = 0$
 - электрический дипольный момент $F_E(0) = d_\nu = 0$
 - магнитный дипольный момент $F_M(0) = \mu_\nu \neq 0$

- Магнитный дипольный момент $F_M(0) = \mu_\nu \neq 0$

$$\mu_\nu = \frac{1}{2} m_\nu f_3(p^2) \Big|_{p^2 \rightarrow m_\nu^2}$$

$$\mu_\nu = \frac{e G_F m_\nu}{8\sqrt{2}\pi^2} \left[1 + \int_0^1 dx \frac{m_\ell^2 x^2 + m_W^2(1-x)(3-2x)}{m_\ell^2 x + m_W^2(1-x) - m_\nu^2 x(1-x)} \right]$$

Значения параметров разбиваются на три области:

- 1 $m_\nu < |m_W - m_\ell|$
- 2 $m_\nu > m_W + m_\ell$
- 3 $|m_W - m_\ell| < m_\nu < m_W + m_\ell$

$$m_\nu < |m_W - m_\ell|$$

- $m_\nu^2 \ll m_\ell^2, m_W^2$

$$\mu_\nu = \frac{3eG_F m_\nu}{8\sqrt{2}\pi^2} \left(\frac{2 - 5\lambda^2 + \lambda^4}{2(1 - \lambda^2)^2} - \frac{\lambda^4}{(1 - \lambda^2)^3} \ln \lambda^2 \right), \quad \lambda = \frac{m_\ell}{m_W}$$

*L. G. Cabral-Rosetti, J. Bernab'eu, J. Vidal and A. Zepeda,
Eur. Phys. J. (2000)*

- В пределе $\lambda \ll 1$

$$\mu_\nu = \frac{3eG_F m_\nu}{8\sqrt{2}\pi^2}$$

B. W. Lee and R. E. Shrock, Phys. Rev. D (1977)

$m_\nu > m_W + m_\ell \Rightarrow$ нестабильное нейтрино

- Магнитный момент нейтрино μ_ν - комплексный

$$\text{Im } \mu_\nu = -\frac{eG_F}{8\sqrt{2}\pi} \frac{m_\nu^2 m_W^2 (m_\nu^2 + 7m_\ell^2 - m_W^2) + (2m_W^2 + m_\ell^2) I_3}{m_\nu^3 I_3}$$

$$I_3 = \sqrt{[m_\nu^2 - (m_\ell - m_W)^2][m_\nu^2 - (m_\ell + m_W)^2]}$$

- Мнимая часть магнитного момента нейтрино определяет полевую поправку $\Delta\Gamma^F$ к ширине распада $\nu \rightarrow \ell^- W^+$ в вакууме $\Gamma^{(0)}$

$$\Gamma = \Gamma^{(0)} + \Delta\Gamma^F$$

- Ширина распада $\nu \rightarrow \ell^- W^+$ в вакууме

$$\Gamma^{(0)} = \frac{G_F}{8\sqrt{2}\pi} \frac{I_3}{m_\nu^3} [(m_\nu^2 - m_\ell^2)^2 + m_W^2(m_\nu^2 + m_\ell^2 - 2m_W^2)]$$

- Полевая поправка $\Delta\Gamma^F$

$$\Delta\Gamma^F = 2 \left(\vec{\xi} \vec{B} \right) \text{Im } \mu_\nu$$

- $\vec{\xi}$ — вектор удвоенного среднего спина нейтрино

- Введем обозначения $z = m_\nu / (m_W + m_e)$, $\lambda = m_e / m_W$
- В окрестности порога реакции, $z \rightarrow 1$, ширина распада в вакууме упрощается

$$\Gamma^{(0)} \simeq \frac{3G_F m_W^3}{2\pi} \frac{\lambda^{3/2}}{1 + \lambda} \sqrt{z - 1}$$

- С учетом полевой поправки ширина распада составляет

$$\Gamma \simeq \Gamma^{(0)} \left[1 - (\vec{\xi} \vec{b}_w) \frac{4 + \lambda}{12\lambda(1 + \lambda)} \frac{1}{z - 1} \right]$$

При $z \rightarrow 1$ имеет место усиление полевой поправки

- Напряженность магнитного поля в единицах критического поля W -бозона

$$\vec{b}_w = \frac{e\vec{B}}{m_W^2} = \frac{\vec{B}}{B_W}, \quad B_W \simeq 10^{24} \text{ Гс}$$

Выводы

- Вычислен собственнно-энергетический оператор нейтрино, находящегося вне массовой поверхности
- Получено выражение для вершинной функции виртуального нейтрино при относительно малом переданном импульсе $|q^2| \ll m_W^2$
- Определены значения форм-факторов при $q^2 = 0$

$$F_Q(0) = 0, \quad F_E(0) = 0, \quad F_M(0) = \frac{m_\nu}{2} f_3(p^2) \Big|_{p^2 \rightarrow m_\nu^2}$$

- Магнитный момент нейтрино при $m_\nu > m_W + m_\ell$ становится комплексным. Мнимая часть магнитного момента определяет полевую поправку к ширине распада $\nu \rightarrow \ell^- W^+$

Собственно-энергетический оператор массивного нейтрино
во внешнем магнитном поле

А. А. Добрынина, Н. В. Михеев
ЖЭТФ, 2014, т. 145, №1, с. 65.

- $\Sigma(p)$ стандартного (легкого) нейтрино был исследован в работах
 - *Borisov A. V. et al, Phys. Atom. Nucl. 41 (1985)*
 - *Borisov A. V. et al, Sov. Phys. J. 31 (1988)*
 - *Erdas A. and Feldman G., Nucl. Phys. B343 (1990)*
 - *Kuznetsov A. V. et al, Phys. Rev. D73 (2006)*
 - *Kuznetsov A. V. et al, Phys. Atom. Nucl. 70 (2007)*
 - *Bhattacharya K. et al, Eur. Phys. J. C62 (2009)*
 - *Erdas A., Phys. Rev. D80 (2009)*
 - *Kuznetsov A. V. et al, Phys. Lett. B690 (2010)*
- Внешнее магнитное поле произвольной напряженности B , $B \lesssim B_W$
- Критическое поле W -бозона $B_W = m_W^2/e \simeq 1.09 \times 10^{24}$ Гс
- Вычисления проводим в калибровке Фейнмана ($\xi = 1$)

- Последовательное четвертое поколение фермионов фактически закрыто распадом $H \rightarrow \gamma\gamma$
- Если масса легких нейтрино генерируется механизмом «качелей», то должны существовать тяжелые майорановские нейтрино
- ATLAS и CMS коллаборации ведут поиск тяжелых нейтрино как дираковских, так и майорановских
 - ① ATLAS Collab.: Eur. Phys. J C72 (2012) 2056
 - ② CMS Collab.: Eur. Phys. J C74 (2014) 3149
Phys. Lett. B748 (2015) 144
JHEP 2016 (2016) 169

Нет пока указаний на существование нейтрального лептона

- Рассматривается тяжелое дираковское нейтрино

- Выражение для собственно-энергетического оператора нейтрино

$$\Sigma(p) = -\frac{ig^2}{2} \left[\gamma^\alpha L J_{\alpha\beta}^W(p) \gamma^\beta L + \frac{1}{m_W^2} K J^\Phi(p) \bar{K} \right]$$

- Введены интегралы

$$J_{\alpha\beta}^W(p) = \int \frac{d^4 q}{(2\pi)^4} S(p+q) G_{\beta\alpha}^W(q)$$

$$J^\Phi(p) = \int \frac{d^4 q}{(2\pi)^4} S(p+q) D^\Phi(q)$$

- $S(p+q)$, $G_{\beta\alpha}^W(q)$ и $D^\Phi(q)$ — Фурье-образы трансляционно-инвариантных частей пропагаторов заряженного лептона, W -бозона и Φ -бозона

- Используем формализм собственного времени Фока-Швингера
- Трансляционно-инвариантные части пропагаторов в постоянном и однородном магнитном поле [J. S. Schwinger, Phys. Rev. (1951)]

$$S(q) = \int_0^{\infty} ds_1 e^{-i\Omega_{\ell}(s_1)} \left\{ [(q\gamma)_{\parallel} + m_{\ell}] \left[1 - \frac{1}{2} (\gamma\varphi\gamma) \operatorname{tg}(\beta s_1) \right] - \frac{(q\gamma)_{\perp}}{\cos^2(\beta s_1)} \right\}$$

$$G_{\beta\alpha}^W(q) = - \int_0^{\infty} \frac{ds_2}{\cos(\beta s_2)} e^{-i\Omega_W(s_2)} [(\tilde{\varphi}\tilde{\varphi})_{\beta\alpha} - (\varphi\varphi)_{\beta\alpha} \cos(2\beta s_2) - \varphi_{\beta\alpha} \sin(2\beta s_2)]$$

$$D^{\Phi}(q) = \int_0^{\infty} ds_2 e^{-i\Omega_W(s_2)}$$

- Показатель фазовых множителей

$$\Omega_j(s) = s (m_j^2 - q_{\parallel}^2) + \frac{\operatorname{tg}(\beta s)}{\beta} q_{\perp}^2, \quad (j = \ell, W)$$

- $\beta = eB$, e — элементарный заряд, B — напряженность магнитного поля
- Безразмерный тензор ЭМ поля и дуальный к нему

$$\varphi_{\alpha\beta} = \frac{F_{\alpha\beta}}{B} \quad \tilde{\varphi}_{\alpha\beta} = \frac{1}{2} \varepsilon_{\alpha\beta\rho\sigma} \varphi^{\rho\sigma}$$

- Обозначения: $(ab)_{\parallel} = (a\tilde{\varphi}\tilde{\varphi}b)$, $(ab)_{\perp} = (a\varphi\varphi b)$

- Для $\Sigma(p)$ справедливо разложение [A. Kuznetsov and N. Mikheev, Electroweak Processes in External Active Media (2013)]

$$\Sigma(p) = \left[\mathcal{A}_L(p\gamma) + \mathcal{B}_L e^2 (p\tilde{F}\tilde{F}\gamma) + \mathcal{C}_L e (p\tilde{F}\gamma) \right] L + \\ + \left[\mathcal{A}_R(p\gamma) + \mathcal{B}_R e^2 (p\tilde{F}\tilde{F}\gamma) + \mathcal{C}_R e (p\tilde{F}\gamma) \right] R + m_\nu [\mathcal{K}_1 + i\mathcal{K}_2 e(\gamma F\gamma)]$$

- Коэффициенты могут быть представлены в виде двукратных интегралов по безразмерным параметрам

$$x = m_W^2 (s_1 + s_2)$$

$$u = s_2 / (s_1 + s_2)$$

- $\Sigma(p) \Rightarrow$ дополнительная энергия нейтрино ΔE :

$$\Delta E = \frac{1}{2E} \text{Sp} [\Sigma(p) \rho(p)]$$

- энергия нейтрино в вакууме $E = \sqrt{\vec{p}^2 + m_\nu^2}$
- матрица плотности $\rho(p) = \frac{1}{2}(\hat{p} + m_\nu)(1 + \hat{s}\gamma_5)$
- 4-вектор поляризации нейтрино s^μ
- Для ΔE получаем выражение

$$\Delta E = \frac{1}{2E} \left[m_\nu^2 (\bar{\mathcal{A}}_L + \bar{\mathcal{A}}_R + 2\bar{\mathcal{K}}_1) + e^2 (p\tilde{F}\tilde{F}p) (\mathcal{B}_L + \mathcal{B}_R) \right] + \\ + \frac{m_\nu}{2E} e^2 (\mathcal{B}_R - \mathcal{B}_L) (s\tilde{F}\tilde{F}p) - \frac{m_\nu}{2E} eB [\mathcal{C}_L - \mathcal{C}_R + 4\mathcal{K}_2] (p\tilde{F}s)$$

- $\bar{\mathcal{A}}_{L,R} = \mathcal{A}_{L,R}(B) - \mathcal{A}_{L,R}(0)$ и $\bar{\mathcal{K}}_1 = \mathcal{K}_1(B) - \mathcal{K}_1(0)$ содержат чисто полевой вклад
- $E\Delta E$ инвариантно относительно преобразования Лоренца вдоль поля

- 4-вектор поляризации нейтрино

$$s^\mu = \left(\frac{(\vec{p}\vec{\xi})}{m_\nu}, \vec{\xi} + \frac{\vec{p}(\vec{p}\vec{\xi})}{m_\nu(E + m_\nu)} \right)$$

- $\vec{\xi}$ — вектор удвоенного среднего спина нейтрино в системе покоя
- Дополнительная энергия нейтрино:

$$\begin{aligned} \Delta E = & \frac{m_\nu^2}{2E} (\bar{\mathcal{A}}_L + \bar{\mathcal{A}}_R + 2\bar{\mathcal{K}}_1) + \\ & + \frac{p_{\parallel}^2}{2E} e^2 B^2 \mathcal{B}_R [1 + (\vec{V}\vec{\xi})] + \frac{p_{\parallel}^2}{2E} e^2 B^2 \mathcal{B}_L [1 - (\vec{V}\vec{\xi})] - \\ & - \frac{em_\nu}{2} [\mathcal{C}_L - \mathcal{C}_R + 4\mathcal{K}_2 + e(\mathcal{B}_R - \mathcal{B}_L)(\vec{B}\vec{V})] \left[(\vec{B}_t\vec{\xi}) + \frac{m_\nu}{E} (\vec{B}_l\vec{\xi}) \right] \end{aligned}$$

- скорость нейтрино $\vec{V} = \vec{p}/E$
- магнитное поле можно разложить на два вектора:

$$\vec{B} = \vec{B}_l + \vec{B}_t, \quad (\vec{V}\vec{B}_t) = 0$$

Распад $\nu \rightarrow \ell^- W^+$ при $m_\nu < m_W + m_\ell$

- распад $\nu \rightarrow \ell^- W^+$ при $m_\nu > m_W + m_\ell$ был рассмотрен в предыдущей части доклада
- $m_\nu < m_W + m_\ell$: распад $\nu \rightarrow \ell^- W^+$ кинематически запрещен в вакууме
- в присутствии магнитного поля распад возможен: ультрарелятивистское нейтрино в относительно слабом магнитном поле ($eB \ll p_\perp^2$)
- Вычисляем в пределе скрещенного поля: $\chi = eB p_\perp / m_W^3 \neq 0$
- $\Delta\Gamma^{(F)} = -2 \text{Im} \Delta E$
- Мнимая часть дополнительной энергии нейтрино ΔE

$$\text{Im} \Delta E = \frac{p_\parallel^2}{2E} e^2 B^2 \text{Im} \mathcal{B}_L \left[1 - (\vec{V}\vec{\xi}) \right] + \frac{p_\parallel^2}{2E} e^2 B^2 \text{Im} \mathcal{B}_R \left[1 + (\vec{V}\vec{\xi}) \right]$$

- Коэффициенты \mathcal{B}_L и \mathcal{B}_R в приближении скрещенного поля

$$\mathcal{B}_L = \frac{G_F}{12\sqrt{2}\pi^2 m_W^2} \int_0^1 du \frac{2u(1+u)(2+u) + \lambda u(1-u)(2-u)}{[u + \lambda(1-u) - \nu u(1-u)]^2} \rho^2 \frac{df(\rho)}{d\rho}$$

$$\mathcal{B}_R = \frac{G_F}{12\sqrt{2}\pi^2 m_W^2} \nu \int_0^1 du \frac{u(1-u)(2-u)}{[u + \lambda(1-u) - \nu u(1-u)]^2} \rho^2 \frac{df(\rho)}{d\rho}$$

- $\lambda = m_\ell^2/m_W^2$, $\nu = m_\nu^2/m_W^2$
- $f(\rho)$ — функция Харди-Стокса

$$f(\rho) = i \int_0^\infty d\tau \exp \left[-i \left(\rho\tau + \frac{\tau^3}{3} \right) \right]$$

с аргументом

$$\rho = \frac{u + \lambda(1-u) - \nu u(1-u)}{[u(1-u)\chi]^{2/3}}$$

- Мнимая часть функции Харди-Стокса с точностью до коэффициента совпадает с функцией Эйри

$$\text{Ai}(\rho) = \frac{1}{\pi} \int_0^\infty d\tau \cos \left(\tau\rho + \frac{\tau^3}{3} \right)$$

- Ширина распада нейтрино

$$\Gamma(\nu \rightarrow W \ell) = -\frac{G_F m_W^4}{12\sqrt{2}\pi} \frac{\chi^{2/3}}{E} \int_0^1 \frac{u du}{[u(1-u)]^{4/3}} \frac{d\text{Ai}(\rho)}{d\rho} \times$$

$$\times \left\{ [2(1+u)(2+u) + \lambda(1-u)(2-u)] [1 - (\vec{V}\vec{\xi})] + \nu(1-u)(2-u) [1 + (\vec{V}\vec{\xi})] \right\}$$

- Для стандартного легкого нейтрино $m_\nu \ll m_\ell, m_W$ воспроизводим результат работы *A. V. Kuznetsov et al, Phys. Lett. B690 (2010)*

$$\Gamma(\nu \rightarrow W \ell) = -\frac{\sqrt{2}G_F m_W^4}{12\pi} \frac{\chi^{2/3}}{E} \int_0^1 \frac{u du}{[u(1-u)]^{4/3}} \frac{d\text{Ai}(\rho)}{d\rho} \times$$

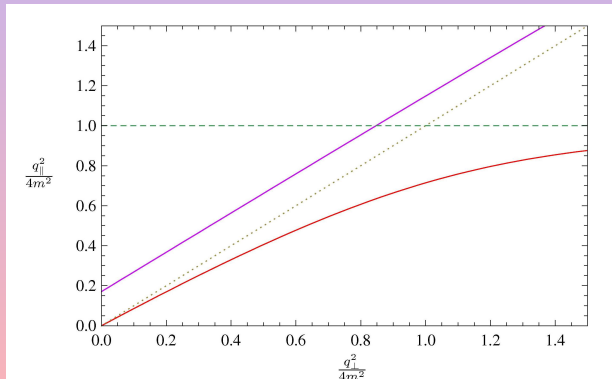
$$\times [2(1+u)(2+u) + \lambda(1-u)(2-u)]$$

Выводы

- Вычислен собственнно-энергетический оператор нейтрино $\Sigma(p)$ во внешнем магнитном поле произвольной напряженности $B < B_W$ при произвольном соотношении между массами нейтрино, W -бозона и заряженного лептона
- Получено выражение для дополнительной энергии нейтрино ΔE на основе результата для $\Sigma(p)$
- Продемонстрировано, что при $m_\nu < m_\ell + m_W$ распад $\nu \rightarrow \ell + W$, кинематически запрещенный в вакууме, для движущегося нейтрино в присутствии внешнего магнитного поля становится возможным
- В приближении скрещенного поля вычислена ширина данного процесса

Закон дисперсии

Закон дисперсии фотона моды 2 при $k_3 = 0$, $B = 10^{16}$ Гс, отсутствие плазмы — красная кривая, $\rho = 7 \cdot 10^8$ г/см³ — фиолетовая кривая. Точки — вакуумный закон дисперсии ($q^2 = 0$)



$\nu_s \rightarrow \nu_a + \gamma$ в релятивистской сильно замагниченной плазме

- Случай релятивистской сильно замагниченной плазмы

$$V_F \simeq \sqrt{1 - m_e^2/\mu_e^2} \rightarrow 1$$

- Плазменная частота

$$\Omega_0 \simeq 34.7 \text{ кэВ} \sqrt{B/B_e}$$

- $m_e/\mu_e \ll x_0 < 1$

$$W_{\text{pl+f}}^{\text{rel}} \simeq \frac{(G_F m_s^2)^2}{64\pi^2 \alpha} m_s \sin^2(2\theta_s) \frac{(C_V^2 + C_A^2) x_0^4}{1 - e^{-m_s(1+x_0^2)/(2T)}} \times \\ \times \left[(1 + x_0^2) \ln \frac{1}{x_0} - \frac{1}{8} (1 - x_0^2) (3 + x_0^2) \right]$$

- $x_0 \ll m_e/\mu_e$

$$W_{\text{pl+f}}^{\text{rel}} \simeq \frac{(G_F \Omega_0^2)^2}{64\pi^2 \alpha} m_s \sin^2(2\theta_s) (C_V^2 + C_A^2) \frac{\ln(2\mu_e/m_e) - 5/4}{1 - e^{-m_s/(2T)}}$$

- Для вероятности получены аналитические решения; возможность приложения обсуждается